

при непрерывном режиме работы агрегата предпочтительно. Также полученные результаты экспериментов позволили оценить эффективность процесса измельчения стеклобоя в планетарной мельнице и отмечено, что для достижения наибольшего процента частиц с размером меньше 100 мкм целесообразно применять соотношение мелющие тела к материалу 1:1.

Литература

1. Богданов, В.С. Шаровые барабанные мельницы / В.С. Богданов. – Белгород: БелГТАСМ, 2002. – 258 с.
2. Боровский Д.Н. Тонкое измельчение материалов малотоннажных производств в быстроходных центробежно-шаровых мельницах: автореф. дис. ... к-та. техн. наук: 05.02.13 / Д.Н. Боровский; Бел. гос. технолог. ун-т. – Минск, 2015. – 23 с.
3. Гребенчук, П.С. Тонкое измельчение стеклобоя в мельницах различных конструкций / П.С. Гребенчук, Д.Н. Боровский // Вестник ПГУ. Сер. В, Промышленность. Прикладные науки. – 2018. – Новополоцк. – №3. – С. 79–83.
4. Боровский, Д.Н. Тонкое измельчение стеклобоя в планетарной мельнице / Д.Н. Боровский, А.А. Гарабажиу, О.А. Петров, Д.В. Семененко // Вестник ПГУ. Сер. В, Промышленность. Прикладные науки. – 2020. – Новополоцк. – №3. – С. 35–38.

УДК 621.926

Козловский В.И., Петров О.А., Боровский Д.Н.
(БГТУ)

РАСЧЕТ ДИАМЕТРА ВАЛА ГОРИЗОНТАЛЬНОЙ БИСЕРНОЙ МЕЛЬНИЦЫ

Одним из основных элементов горизонтальной бисерной мельницы (ГБМ) является вал ротора, от параметров которого зависит производительность и ресурс работы оборудования, так как он непосредственно связан со всеми ответственными узлами и деталями. Поэтому правильное конструирование вала и ротора в целом оказывает значительный эффект на работоспособность машины.

Основными параметрами, которые будут оказывать отрицательное воздействие на работоспособность конструкции, являются величина смещения вала (прогиб) от оси вращения на консоли и величина смещения вала в месте установки уплотнения.

Смещения вала приводят к выходу из строя подшипников качения, быстрому износу торцевого уплотнения и нарушению работы динамического сепаратора, при его наличии.

Так как вал ГБМ установлен консольно и относится к быстроходным, то его конструирование начинается с расчета на вибрационную устойчивость, а также жесткость и прочность [3]. В результате чего определяется диаметр вала и величины прогибов в опасных сечениях.

Этот расчет весьма громоздкий и может занимать достаточно много времени. Однако в результате проведенных исследований ГБМ, нами были получены оптимальные параметры работы данных машин. Их подстановка в предложенную методику расчета значительно упростит подбор оптимального диаметра вала и определение его прогибов в опасных сечениях в зависимости от технологических и геометрических параметров.

Основными параметрами при расчете вала ротора ГБМ (рисунок 1), которые будут влиять на его диаметр и прогибы являются: расстояние между подшипниками (L_p); диаметр дисков (D_d) и их количество (k). Остальные параметры были взяты или рассчитаны из предыдущих исследований ГБМ [1, 2, 4, 5]. Например, частота вращения вала определялась из условия, что оптимальная окружная скорость по кромкам дисков должна быть 10 м/с [4], а расстояние между дисками (L_d) не должно превышать 40 мм [4]. Масса диска рассчитывалась исходя из соотношения значений его диаметра и толщины [1]. Расстояние между подшипниками и торцевым уплотнением (L_y) принималось минимальным – 40 мм, для обеспечения наименьшего прогиба в месте его установки. В качестве измельчаемого материала, как модельная среда, использовался мелкозернистый кварцевый песок, а для расчета мощности затрачиваемой на перемешивание общей массы (шарики, материал и вода) воспользовались формулой [5]:

$$N = 0,616 \pi \rho_c \omega_d^2 r_d^4 k \sqrt{v \omega_d}, \quad (1)$$

где ω_d – угловая скорость вращения диска, с^{-1} ; ρ_c – плотность среды, $\text{кг}/\text{м}^3$; r_d – радиус диска, м; v – кинематическая вязкость среды, $\text{м}^2/\text{с}$.

Согласно методики расчета на первом этапе определялся диаметр вала (d_v) и проводилась его проверка на условие виброустойчивости:

Второй этап заключался в определении прогибов вала в месте установки торцевого уплотнения на консоли.

На третьем этапе определялись изгибающие и крутящие моменты и производилась проверка вала на прочность.

По результатам расчетов можно отметить, что при минимально принятом к расчетам количестве дисков 5 шт. и наименьшем их

диаметре 0,1 м, диаметр вала ротора в зависимости от расстояния между подшипниками ($0,15 \text{ м} \leq L_{\text{пп}} \leq 0,5 \text{ м}$) варьируется от 16,5 до 21,5 мм. При максимальном количестве дисков 8 шт. и наибольшем их диаметре 0,3 м, величина диаметра вала ротора оказывается в диапазоне 34,5 до 40,5 мм.

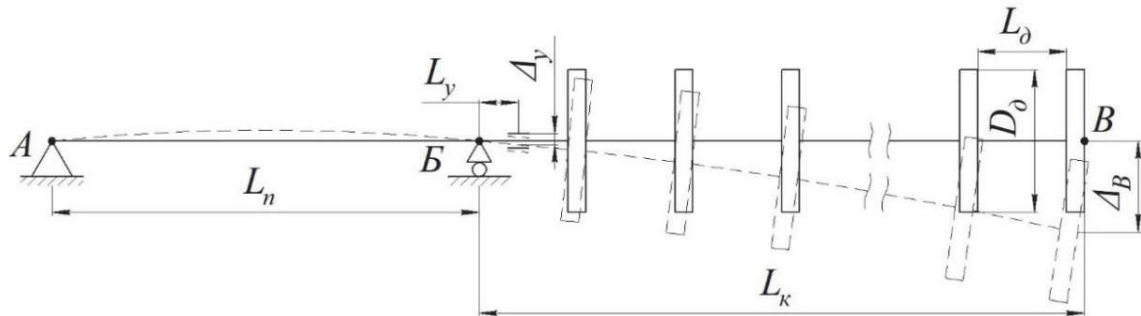


Рисунок 1 – Расчетная схема вала

Увеличение диаметра дисков от 0,1 м до 0,3 м приводит соответственно к возрастанию диаметра вала ротора на 6–8 мм, так как увеличивается его масса. При увеличении количества дисков от 5 до 8 – диаметр возрастает на 8–10 мм, так как удлиняется консоль вала. При увеличении расстояния между подшипниками с 0,15 м до 0,267 м диаметр вала увеличивается на 2,5–4 мм, а с 0,267 м до 0,5 м – на 2–2,5 мм.

Анализ приведенных данных позволил получить общее уравнение зависимости диаметра вала от расстояния между подшипниками для различного количества и диаметров дисков, которое можно записать в виде:

$$d_{\text{в}} = k_1 L_{\text{пп}}^3 - k_2 L_{\text{пп}}^2 + k_3 L_{\text{пп}} + k_4 (\text{при } 0,15 \text{ м} \leq L_{\text{пп}} \leq 0,5 \text{ м}), \quad (2)$$

где k_1, k_2, k_3, k_4 – коэффициенты (таблица 1).

Расчет отклонений Δ_b показал их рост с увеличением количества дисков. Однако на эти отклонения значительное влияние оказывает расстояния между подшипниками. Так, например, при количестве дисков 5 шт. и расстоянии между подшипниками 0,15 м отклонение на консоли составляет 2,1748 мм, а при дальнейшем увеличении расстояния до 0,267 м это значение резко снижается до 0,2823 мм. Последующее возрастание расстояния между подшипниками не приводит к существенному изменению прогиба вала на консоли. Аналогичная картина наблюдается для всех полученных данных.

Что касается прогиба вала в месте установки торцевого уплотнения Δ_y , то здесь также наблюдается значительное уменьшение прогиба при изменении расстояния между подшипниками от 0,15 м до 0,267 м. Однако значение Δ_y с увеличением дины консоли, диаметров дисков

и расстояния между подшипниками не всегда уменьшалось или увеличивалось, иногда оно меняется скачкообразно. Это объясняется тем, что в предыдущих расчетах для каждого случая был получен свой диаметр вала. Исходя из этого, имели место случаи, когда при увеличении дины консоли вала его диаметр тоже увеличивался, и соответственно прогиб Δ_y мог быть равен или меньше, чем у вала с меньшей консолью и диаметром.

Таблица 1. – Значения коэффициентов для уравнения (3)

Количество дисков k , шт.		Диаметр дисков D_d , м			
		0,1	0,17	0,23	0,3
5	k_1	202,99	197,11	188,4	181,78
	k_2	238,21	231,37	221,16	213,27
	k_3	99,92	96,906	92,539	89,24
	k_4	13,155	11,313	9,5482	7,4404
	k_1	205,16	199,96	192,5	190,1
	k_2	240,58	234,54	225,81	222,83
	k_3	101,25	98,573	94,818	93,601
	k_4	16,649	14,419	12,262	9,6745
6	k_1	207,15	202,62	196,57	199,11
	k_2	242,72	237,48	230,39	233,17
	k_3	102,44	100,1	97,033	98,265
	k_4	20,17	17,557	15,015	11,97
	k_1	209,08	205,25	200,75	208,99
	k_2	244,78	240,38	235,11	244,5
	k_3	103,55	101,56	99,273	103,33
	k_4	23,715	20,724	17,807	14,334
7	k_1	207,15	202,62	196,57	199,11
	k_2	242,72	237,48	230,39	233,17
	k_3	102,44	100,1	97,033	98,265
	k_4	20,17	17,557	15,015	11,97
	k_1	209,08	205,25	200,75	208,99
	k_2	244,78	240,38	235,11	244,5
	k_3	103,55	101,56	99,273	103,33
	k_4	23,715	20,724	17,807	14,334
8	k_1	209,08	205,25	200,75	208,99
	k_2	244,78	240,38	235,11	244,5
	k_3	103,55	101,56	99,273	103,33
	k_4	23,715	20,724	17,807	14,334

Полученные значения Δ_y так же позволяют подобрать торцевое уплотнение для данного вида мельниц. Здесь можно отметить, что при расстоянии между подшипниками 0,15 м отклонения превышают допустимое значение 0,1 мм [3]. Это приводит к установке нестандартного торцевого уплотнения и повышению стоимости мельницы. Но при увеличении расстояния между подшипниками до 0,267 м, отклонения в месте установки уплотнения значительно снижаются и не превышают допустимых значений.

Очевидно, что возрастание диаметра дисков повышает массу ротора, а их количество – увеличивает длину консоли, что ведет к увеличению диаметра вала ротора горизонтальной бисерной мельницы и влияет на прогибы вала на конце консоли и в месте установки уплотнения. Изменение же расстояния между подшипниками в месте установки консольного вала, увеличивает его диаметр в меньшей степени,

но значительно влияет на величину прогибов. Отклонения вала от оси вращения приводят к дополнительной вибрации, биению, неправильной работе и в итоге к преждевременному выходу из строя подшипников качения и элементов довольно дорогостоящего торцевого уплотнения. Используя полученные по предлагаемой методике результаты расчетов и приведенные зависимости, можно связать основные параметры горизонтальной бисерной мельницы для правильного подбора торцевого уплотнения и для рационального ее конструирования в целом.

Литература

1. Индейкин, Е.А. Пигментирование лакокрасочных материалов / Е.А. Индейкин, Л.Н. Лейбzon, И.А. Толмачев. – Л.: Химия, 1986. – 160 с.
2. Масунов, Е.Б. Преимущество различных типов отечественного диспергирующего оборудования с мелющими телами / Е.Б. Масунов // Химическое и нефтяное машиностроение. – 1983. – № 2. – С. 37–39.
3. Михалев, М.Ф. Расчет и конструирование машин и аппаратов химических производств (примеры и задачи): учеб. пособие / М.Ф. Михалев, [и др.] – Л.: Машиностроение, 1984. – 304 с.
4. Козловский, В.И. Влияние конструктивных особенностей шаровой мельницы с мешалкой на ее эффективность / В.И. Козловский, П.Е. Вайтехович // Лакокрасочные материалы и их применение. – 2015. – № 7. – С. 43–45.
5. Козловский, В.И. Определение энергозатрат на вращение рабочего органа шаровой мельницы с мешалкой / В.И. Козловский, П.Е. Вайтехович // Химическое и нефтегазовое машиностроение. – 2016. – № 5–6. – С. 14–17.

УДК 621.926

Мытько Д.Ю., Гребенчук П.С., Петров О.А.
(БГТУ)

МАТЕМАТИЧЕСКОЕ ОПИСАНИЕ АГЛОМЕРАЦИИ ЧАСТИЦ В ПОЛЕ ЦЕНТРОБЕЖНЫХ СИЛ

Движение как тонкодисперсных частиц, так и агломератов в закрученном газовом потоке может быть описано вторым законом Ньютона. Механизм агломерации моделируется с учетом траектории движения частиц в циклоне и вероятности их столкновения.

Модель агломерации частиц в турбулентных потоках предложена Зоммерфельдом. Автор предполагает, что в Эйлеровом–Лагранжевом